

Задание 2. Взаимодействия цилиндрических магнитов (Решение)

Часть 1. Характеристики магнита.

1.1 Так как, плотность и геометрические размеры цилиндрического магнита заданы, то расчет его массы труда не представляет:

$$m = \rho V = \rho \frac{\pi d^2}{4} h = 7,6 \cdot 10^3 \frac{\pi \cdot (4,0 \cdot 10^{-3})^2 \cdot 10,0 \cdot 10^{-3}}{4} = 9,6 \cdot 10^{-4} \text{ кг} . \quad (1)$$

1.2 Магнитный момент магнита рассчитывается по определению намагниченности

$$M_R = \frac{p_m}{V} \Rightarrow p_m = M_R V . \quad (2)$$

Используя заданную связь между намагниченностью и остаточной индукцией $B_R = \mu_0 M_R$, получим требуемый результат

$$p_m = M_R V = \frac{B_R}{\mu_0} \cdot \frac{\pi d^2}{4} h = 0,14 \text{ А} \cdot \text{м}^2 . \quad (3)$$

1.3 Расчет силы тока намагничения можно провести по формуле магнитного момента, выражаемого через силу тока намагничения

$$p_m = IS \Rightarrow I_m = \frac{p_m}{S} = \frac{B_R}{\mu_0} \frac{V}{S} = \frac{B_R}{\mu_0} h . \quad (4)$$

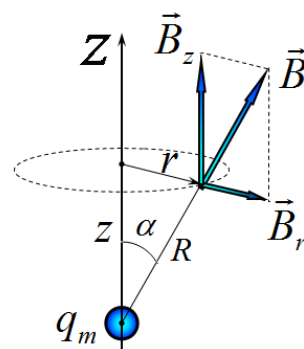
Численный расчет можно провести по любой из приведенных формул

$$I_m = \frac{B_R}{\mu_0} h = \frac{1,6}{4\pi \cdot 10^{-7}} 10 \cdot 10^{-3} = 1,1 \cdot 10^4 \text{ А} . \quad (5)$$

Поразительно, удивительно, но...

Часть 2. Магнитное поле магнита.

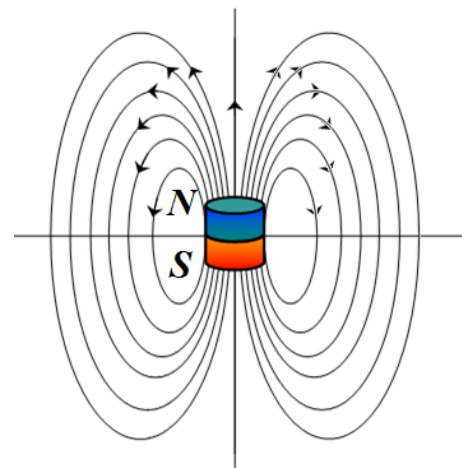
2.1 Требуемые компоненты индукции поля точечного магнитного заряда находятся из формулы «типа Кулона» $B = \frac{\mu_0}{4\pi} \frac{q_m}{R^2}$ и рисунка:



$$B_z^{(0)}(z, r) = \frac{\mu_0}{4\pi} \frac{q_m}{R^2} \cos \alpha = \frac{\mu_0 q_m}{4\pi} \frac{z}{(z^2 + r^2)^{3/2}} . \quad (5)$$

$$B_r^{(0)}(z, r) = \frac{\mu_0}{4\pi} \frac{q_m}{R^2} \sin \alpha = \frac{\mu_0 q_m}{4\pi} \frac{r}{(z^2 + r^2)^{3/2}} . \quad (6)$$

2.2 Картина силовых линий магнитного диполя (поля линейного магнита, поля кругового тока, поля Земли и т.д.) приводится во всех учебниках физики, начиная с детского сада.



2.3 Для решения данного пункта задачи можно воспользоваться подсказкой, приведенной в условии. Второй подход – используя принцип суперпозиции, записать точное выражение для индукции поля и провести разложение полученного выражения по малому параметру a . Здесь приведено решения по первому, более короткому пути.

$$B_z(z, r) = B_z^{(0)}(z, r) - B_z^{(0)}(z + a, r) = -\left(B_z^{(0)}(z, r)\right)'_z \cdot a. \quad (7)$$

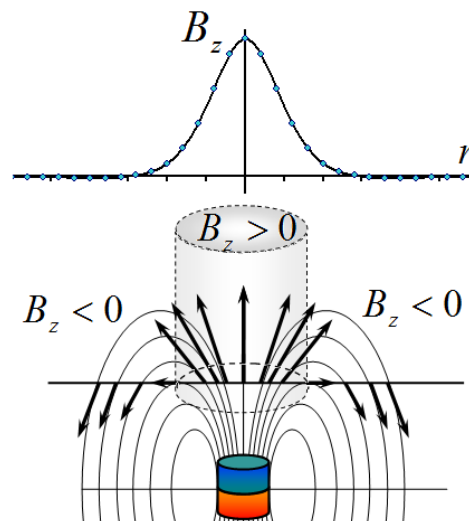
Аккуратное вычисление производной от функции (5) приводит к результату:

$$\begin{aligned} B_z(z, r) &= -\left(B_z^{(0)}(z, r)\right)'_z \cdot a = -\frac{\mu_0 q_m a}{4\pi} \left(\frac{z}{(z^2 + r^2)^{3/2}} \right)' = \\ &= -\frac{\mu_0 q_m a}{4\pi} \frac{(z^2 + r^2)^{3/2} - z \cdot \frac{3}{2} (z^2 + r^2)^{1/2} \cdot 2z}{(z^2 + r^2)^3} = \frac{\mu_0 p_m}{4\pi} \frac{2z^2 - r^2}{(z^2 + r^2)^{5/2}} \end{aligned} \quad (8)$$

2.4 Схематический график этой функции можно построить на основе качественного анализа (функция четная, нули функции при $r = \pm\sqrt{2}z$, очевидны участки монотонности, стремление к нулю с отрицательной стороны при $z \rightarrow \pm\infty$). Результат построения показан на рисунке.



Данный график можно построить и на основании анализа картины силовых линий – просто рассматривая знак проекции вектора индукции поля (как показано на следующем рисунке).



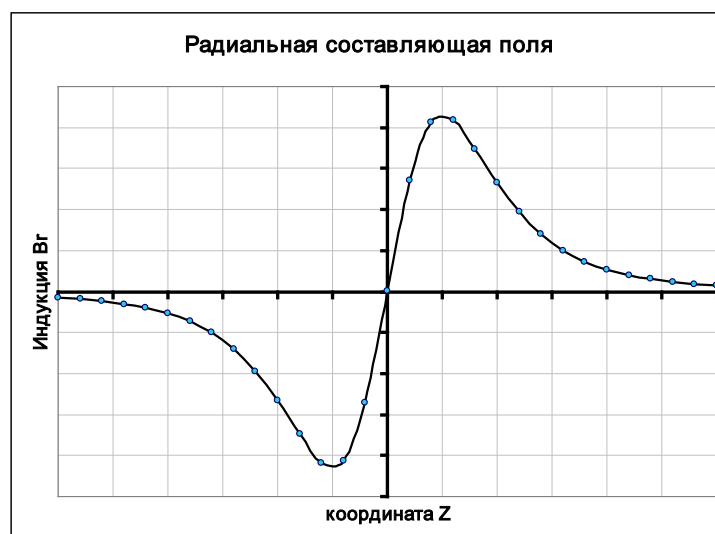
2.5 Значения индукции поля на оси можно получить, полагая $r = 0$ в формуле (8):

$$B_z(z) = \frac{\mu_0 p_m}{4\pi} \frac{2z^2 - r^2}{(z^2 + r^2)^{5/2}} \Big|_{r=0} = \frac{\mu_0 p_m}{2\pi} \frac{z}{z^3}. \quad (9)$$

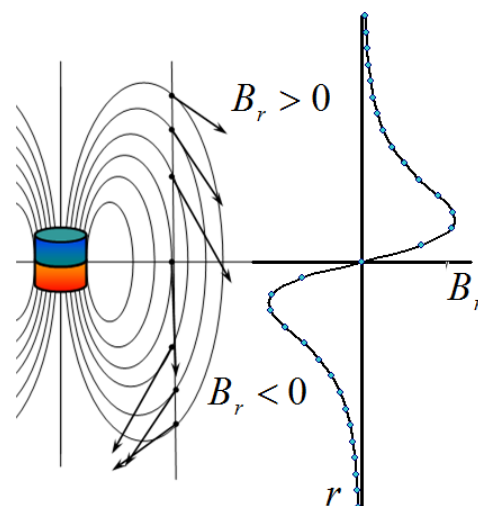
2.6 Радиальная компонента поля рассчитывается аналогично (и несколько проще):

$$\begin{aligned} B_r(z, r) &= B_r^{(0)}(z, r) - B_r^{(0)}(z + a, r) = -\left(B_r^{(0)}(z, r)\right)' \cdot a = \\ &= -\frac{\mu_0 q_m a}{4\pi} \cdot \left(\frac{r}{(z^2 + r^2)^{3/2}} \right)' = \frac{\mu_0 p_m}{4\pi} \cdot \frac{3}{2} \frac{r \cdot 2z}{(z^2 + r^2)^{5/2}} = \frac{\mu_0 p_m}{4\pi} \frac{3zr}{(z^2 + r^2)^{5/2}}. \end{aligned} \quad (10)$$

2.7 График этой функции также строится на основе качественного анализа (функция нечетная: обращается в нуль при $z = 0$; стремится к нулю при $z \rightarrow \pm\infty$). Результат – на рисунке.



Схематический график этой зависимости можно также построить на основании анализа картины силовых линий (см. рисунок).



2.8 Поиск экстремумов функции проводится стандартным методом – в точках экстремумов производная функции обращается в нуль. Поэтому вычислим производную от функции (10) и приравняем ее к нулю:

$$\begin{aligned} (B_r(z, r))'_z &= \frac{\mu_0 p_m}{4\pi} 3r \left(\frac{z}{(z^2 + r^2)^{5/2}} \right)' = \frac{\mu_0 p_m}{4\pi} 3r \frac{(z^2 + r^2)^{5/2} - z \frac{5}{2} (z^2 + r^2)^{3/2} \cdot 2z}{(z^2 + r^2)^5} = \\ &= \frac{\mu_0 p_m}{4\pi} 3r \frac{r^2 - 4z^2}{(z^2 + r^2)^{7/2}} = 0 \end{aligned} \quad (11)$$

Из полученного уравнения следует, что положение экстремума $z^* = \pm b = \pm \frac{r}{2}$. Значения функции в экстремуме равно

$$B_{r\max}(z, r) = \frac{\mu_0 p_m}{4\pi} \frac{3zr}{(z^2 + r^2)^{5/2}} \bigg|_{z=\frac{r}{2}} = \frac{3}{2} \left(\frac{4}{5} \right)^{5/2} \frac{\mu_0 p_m}{4\pi} \frac{1}{r^3} = C \frac{\mu_0 p_m}{r^3}. \quad (12)$$

Здесь безразмерная константа равна $C = \frac{3}{8\pi} \left(\frac{4}{5} \right)^{5/3} \approx 0,068$.

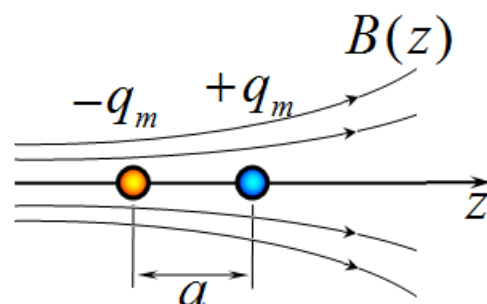
Таким образом, полный ответ на вопросы данного пункта:

$$b = \frac{r}{2}; \quad B_{r\max} = C \frac{\mu_0 p_m}{r^3}; \quad C = \frac{3}{8\pi} \left(\frac{4}{5} \right)^{5/3} \approx 0,068. \quad (13)$$

Часть 3. Притяжение и отталкивание.

3.1 Рассмотрим магнитный диполь, находящийся в неоднородном магнитном поле $B(z)$. Ось диполя совпадает с направлением поля (что соответствует условию рассматриваемой задачи). В этом случае суммарная сила, действующая на диполь, равна

$$F = -q_m B(z) + q_m B(z + a). \quad (14)$$



Теоретический тур. Вариант 1.

11 класс. Решения задач. Бланк для жюри.

Учитывая малость величины a , это выражение можно преобразовать к виду

$$F = -q_m B(z) + q_m B(z+a) = q_m a \frac{B(z+a) - B(z)}{a} \approx p_m B'(z). \quad (15)$$

где $B'(z)$ - производная от зависимости индукции поля по координате. Зависимость индукции поля на оси от координаты задается формулой (9). Поэтому сила взаимодействия между магнитами равна

$$F = p_m B'(z) = p_m \left(\frac{\mu_0 p_m}{2\pi z^3} \right)' = -\frac{3\mu_0 p_m^2}{2\pi z^4}. \quad (15)$$

3.2 При ориентации магнитов, указанной на рис. а), сила магнитного отталкивания уравновешивает силу тяжести:

$$\frac{3\mu_0 p_m^2}{2\pi L^4} = mg. \quad (16)$$

Из этого уравнения находим искомое расстояние

$$L = \sqrt[4]{\frac{3\mu_0 p_m^2}{2\pi mg}}. \quad (17)$$

3.3 Реализовать экспериментально можно только вариант, а), так как в этом случае положение равновесия является устойчивым. В случае б) положение равновесия неустойчивое.

3.4 Подстановка ранее найденных численных значений параметров в формулу (17) приводит к результату:

$$L = 3,3 \text{ см}. \quad (17)$$

Часть 4. Магнитная вязкость – токи Фуко.

4.1 При движении магнита в каждой точке стенке трубки изменяется магнитное поле, в следствие чего в ней возникают электрические токи, называемые токи Фуко. Для расчета их характеристики удобно перейти в систему отсчета, связанную с магнитом. В этой системе трубка движется магнитном поле, поэтому источником ЭДС является сила Лоренца, действующая на заряды, которая возникает благодаря радиальной составляющей индукции поля магнита. Сила Лоренца направлена по касательной к поверхности трубки. Величина этой силы равна

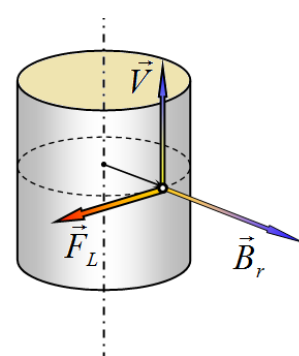
$$F_L = qVB_r. \quad (18)$$

Соответственно, ЭДС, возникающая в контуре, охватывающем трубку равна

$$\varepsilon = \frac{1}{q} F_L \cdot 2\pi r_0 = 2\pi r_0 B_r V. \quad (19)$$

Теперь с помощью закона Ома определим силу тока

$$\Delta I = \frac{\varepsilon}{R} = \frac{\varepsilon}{\rho \frac{2\pi r_0}{\Delta z h_0}} = \frac{2\pi r_0 B_r V}{\rho \frac{2\pi r_0}{\Delta z h_0}} = \frac{B_r V \Delta z h_0}{\rho}. \quad (20)$$



Наконец, воспользуемся рекомендуемым приближением для функциональной зависимости радиальной составляющей поля:

$$\Delta I = \frac{B_{r\max} V \Delta z h_0}{\rho}. \quad (20)$$

4.2 Ток возникает во всех частях трубки, в которых имеется радиальное магнитное поле. В рамках используемого «ступенчатого» приближения радиальная составляющая имеется в полосе шириной $4b$. Отметим, что направление тока не существенно, так как мощность выделяющейся теплоты не зависит от направления тока. Поэтому можно записать, что «эффективная» сила тока равна

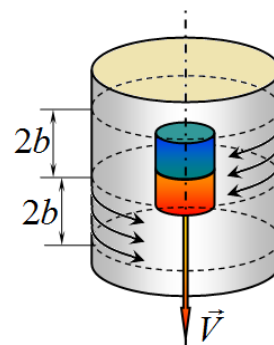
$$I = \frac{B_{r\max} V h_0}{\rho} \cdot 4b. \quad (21)$$

Мощность теплоты, выделяющейся в трубке, рассчитывается по закону Джоуля – Ленца:

$$P = I^2 R, \quad (22)$$

где $R = \rho \frac{2\pi r_0}{4bh_0}$ – электрическое сопротивление части стенки трубки.

по которой протекает электрический ток. Собирая все промежуточные результаты, получим результат



$$P = \left(\frac{B_{r\max} V h_0}{\rho} \cdot 4b \right)^2 \rho \frac{2\pi r_0}{4bh_0} = \frac{8\pi r_0 b h_0}{\rho} B_{r\max}^2 V^2. \quad (23)$$

4.3 Рассчитанную мощность теплоты можно связать с мощностью, развиваемой силой вязкого магнитного трения:

$$P = F \cdot V. \quad (24)$$

С помощью формулы (24) находим явное выражение для этой силы

$$F = \frac{8\pi r_0 b h_0}{\rho} B_{r\max}^2 V. \quad (25)$$

4.4 Приравняем найденное значение силы вязкого трения к силе тяжести падающего магнита

$$\frac{8\pi r_0 b h_0}{\rho} B_{r\max}^2 V = mg, \quad (26)$$

Откуда найдем формулу для скорости установившегося движения

$$V = \frac{mg\rho}{8\pi r_0 b h_0 B_{r\max}^2}. \quad (27)$$

4.5 Осталось добросовестно провести численные расчеты: $B_{r\max} = C \frac{\mu_0 P_m}{r_0^3} = 0,45 \text{ Тл};$

$$V = \frac{mg\rho}{8\pi r_0 b h_0 B_{r\max}^2} = 3,9 \frac{\text{см}}{\text{с}}. \quad (28)$$